

· 论 著 ·

ERK1/2 信号通路在 Ang-(1-7) 抑制 Ang II 诱导的 NRK52E 转分化中的作用*

王明勇¹,袁波²,夏基毅¹,陈枫¹,陈庄¹,刘建^{3△}

(1. 泸州医学院附属医院医学实验中心,四川泸州 646000;2. 四川省宜宾市第一人民医院 644000;

3. 泸州医学院附属医院肾病内科,四川泸州 646000)

摘要:目的 探讨血管紧张素-(1-7)[Ang-(1-7)]对血管紧张素Ⅱ(Ang II)诱导的大鼠肾小管上皮细胞(NRK52E)表型转化及ERK1/2信号分子在转分化过程中的作用。方法 体外培养NRK52E,经Ang-(1-7)和Ang II(终浓度均为 10^{-6} mol/L)干预24、48、72、96 h后,应用细胞免疫化学法检测E-cadherin、 α -SMA的表达;干预72、96 h后,应用Western blot法检测P-ERK1/2表达水平的变化。结果 Ang II作用96 h后,E-cadherin的表达显著减弱($P<0.05$), α -SMA的表达显著增强($P<0.05$),P-ERK1/2表达显著增强($P<0.05$);同时加入Ang-(1-7)后,与Ang II组比较,E-cadherin的表达显著增强($P<0.05$), α -SMA的表达显著减弱($P<0.05$),P-ERK1/2表达显著减弱($P<0.05$)。结论 Ang-(1-7)能够抑制Ang II诱导的大鼠NRK52E表型转化,ERK1/2信号通路参与了肾小管上皮细胞转分化过程。

关键词:血管紧张素类;血管紧张素Ⅱ;肾小管;上皮细胞;细胞转分化

doi:10.3969/j.issn.1671-8348.2011.09.002

文献标识码:A

文章编号:1671-8348(2011)09-0835-03

Role of ERK1/2 signaling pathway on angiotensin-(1-7) inhibit rat's tubular epithelial myofibroblast transdifferentiation induced by angiotensin II *

Wang Mingyong¹, Yuan Bo², Xia Jiyi¹, Chen Feng¹, Chen Zhuang¹, Liu Jian^{3△}

(1. Medical Experimental Center, Affiliated Hospital, Luzhou Medical College, Luzhou, Sichuan 646000, China;

2. Yibin First People's Hospital, Yibin, Sichuan 644000 China; 3. Department of Nephrology,

Affiliated Hospital, Luzhou Medical College, Luzhou, Sichuan 646000, China)

Abstract: Objective To explore the role of ERK1/2 signaling pathway on angiotensin-(1-7) inhibit rat's tubular epithelial myofibroblast transdifferentiation induced by angiotensin II. **Methods** NRK52E were maintained and sub-cultured. The NRK52E cells were stimulated by angiotensin-(1-7) and angiotensin II (both 10^{-6} mol/L), cultured for 24, 48, 72, 96 h, we detected the expressions of E-cadherin and α -SMA by immunocytochemistry method; cultured for 72, 96 h, ERK1/2, detected by Western blot. **Results** The cells, cultured for 96 h, expressions of α -SMA and P-ERK1/2 of Ang II group increased significantly than that of control group ($P<0.05$), expressions of E-cadherin of Ang II group decreased significantly than that of control group ($P<0.05$); expressions of α -SMA and P-ERK1/2 of Ang II + Ang-(1-7) group decreased significantly than that of Ang II group at the same time ($P<0.05$), expressions of E-cadherin of Ang II + Ang-(1-7) group increased than that of Ang II group at the same time ($P<0.05$). **Conclusion** Ang-(1-7) can inhibit Ang II-induced tubular epithelial myofibroblast transdifferentiation, ERK1/2 signaling pathway plays an important role in rat's tubular epithelial myofibroblast transdifferentiation.

Key words: angiotensins; angiotensin II; kidney tubules; epithelial cells; transdifferentiation

肾间质纤维化(TIF)是各种原因引起的慢性肾脏疾病进展为终末期肾衰竭的共同途径。肾小管上皮细胞转分化(TEMT)为TIF发生的重要机制^[1-2],并成为当今学者研究的热点。血管紧张素Ⅱ(Ang II)作为肾素-血管紧张素-醛固酮系统(RAS)的主要成员,已证实在TIF中发挥重要作用。血管紧张素-(1-7)[Ang-(1-7)]具有抗细胞增殖、扩张血管、抑制组织细胞重塑等多种拮抗Ang II的生理作用。但Ang-(1-7)能否抑制Ang II诱导的TEMT以及其可能的细胞内信号通路尚未阐明。本实验通过Ang II刺激体外培养的大鼠TEMT,观察Ang-(1-7)对其转分化的影响以及ERK1/2信号传导通路在转分化发生机制中的作用,为慢性肾脏疾病的防治提供新的思路和治疗靶点。

1 材料与方法

1.1 材料 Ang-(1-7)、Ang II购自美国Sigma公司,免疫细胞化学试剂盒购自武汉博士德公司,蛋白提取试剂盒购自碧云天生物技术研究所,蛋白定量测定试剂盒购自普利莱基因技术有限公司,化学发光试剂盒购自碧云天生物技术研究所,phospho-p44/42MAPK(Erk1/2)Mose mAb购自美国Cell Signaling公司,E-cadherin单克隆抗体购自博士德公司,E-cadherin单克隆抗体购自博士德公司,HRP标记羊抗兔IgG购自博士德公司,HRP标记小鼠抗大鼠IgG购自博士德公司,HRP标记羊抗小鼠IgG购自碧云天生物技术研究所。

1.2 方法

1.2.1 细胞培养及实验分组 正常大鼠肾小管上皮细胞

* 基金项目:国家自然科学基金资助项目(30771008)。 △ 通讯作者, Tel: 13882713121; E-mail: liujianhy@sina.com。

(NRK52E)由泸州医学院中心实验室提供。将细胞用体积分数为10%胎牛血清的低糖DMEM培养基置37℃、含体积分数为5.00%的恒温恒湿CO₂孵箱中培养。8~12 h细胞贴壁则换成无血清的DMEM培养基培养24 h,吸去上清液,调整细胞浓度为2×10⁵/mL,并接种于6孔接种板中,每孔2 mL。分为对照组(仅加入培养液)、Ang II组、Ang-(1-7)组及Ang-(1-7)+Ang II组。各组Ang-(1-7)和Ang II终浓度均为10⁻⁶ mol/L。培养24、48、72、96 h。

1.2.2 免疫细胞化学法测E-钙黏附蛋白(E-cadherin)和α-平滑肌肌动蛋白(α-SMA)的表达采用SABC,分别对各组细胞爬片的E-cadherin和α-SMA进行免疫化学染色,DAB显色,PBS液代替一抗作阴性对照,以细胞胞质出现棕黄色颗粒为阳性信号。采用Image-pro plus6.0分析系统进行半定量分析。

1.2.3 Western blot法测ERK1/2的表达用4℃预冷的PBS液洗细胞3次,刮下细胞,加入400 μL含有蛋白酶抑制剂的裂解缓冲液,置冰浴中超声破碎细胞,4℃、12 000 r/min离心15 min,取上清液,用BAC法测蛋白质浓度,各组取20 μg待测蛋白质样本,与蛋白相对分子质量标准品共同进行SDS-PAGE电泳,配制10%分离胶和5%浓缩胶,将蛋白质转移至PVDF膜上,置封闭缓冲液中过夜,与小鼠抗大鼠一抗(1:1 500)孵育,充分洗膜后与辣根过氧化物酶标记山羊抗小鼠二抗(1:1 000)孵育,暗室化学发光准确显影。结果由计算机凝胶图像分析系统(美国BioRad)分析。

1.3 统计学处理所有数据使用SPSS13.0统计软件作统计学分析。计量资料采用 $\bar{x} \pm s$ 表示,采用单因素方差分析,多个样本均数两两比较采用q检验(Student-Newman-Keuls multiple range test,SNK),组间同时间点比较采用独立样本均数t检验,以P<0.05为差异有统计学意义。

2 结 果

2.1 Ang-(1-7)对Ang II诱导的NRK52E α-SMA和E-cadherin表达的影响培养24、48、72、96 h后,对照组无α-SMA阳性表达的细胞,Ang-(1-7)组与之类似,Ang II组细胞随培养时间延长α-SMA表达逐渐增加,但24、48、72 h时与对照组比较,差异无统计学意义,96 h时,Ang II组细胞α-SMA表达显著增加,与对照组比较,差异有统计学意义(P<0.05),Ang II+Ang-(1-7)组与Ang II组比较,α-SMA表达明显减少,差异有统计学意义(P<0.05),见表1,封2图1。

表1 各组细胞α-SMA的表达($\bar{x} \pm s$)

时间 (h)	对照组	Ang II组	Ang-(1-7)组	Ang II+ Ang-(1-7)组
24	11.646±0.513	12.057±0.847	11.726±0.612	13.079±0.728
48	12.505±0.901	13.866±0.305	13.256±0.481	12.031±0.488
72	12.733±0.642	14.444±0.167	12.208±0.343	11.776±0.327
96	12.692±1.219	150.934±8.189*	12.099±0.351	80.538±6.527#

*: P<0.05,与对照组同时间点比较;#: P<0.05,与Ang II组同时间点比较。

培养24、48、72、96 h后,对照组无E-cadherin表达减少的细胞,Ang-(1-7)组与之类似,Ang II组细胞随时间增加E-cadherin表达减少,但24、48、72 h时与对照组比较,差异无统计学意义,96 h时,Ang II组细胞E-cadherin表达显著减少,与对

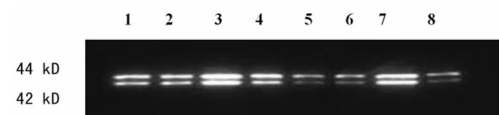
照组比较,差异有统计学意义(P<0.05),Ang II+Ang-(1-7)组与Ang II组比较,E-cadherin表达明显增加,差异有统计学意义(P<0.05)。见表2,封2图2。

表2 各组细胞E-cadherin的表达($\bar{x} \pm s$)

时间 (h)	对照组	Ang II组	Ang-(1-7)组	Ang II+ Ang-(1-7)组
24	202.987±6.614	204.543±8.317	201.836±8.110	212.499±6.581
48	212.531±6.252	211.386±9.469	212.523±4.303	208.001±7.219
72	210.595±9.821	215.782±8.562	210.095±4.656	209.720±9.122
96	203.435±8.653	77.568±3.148*	196.329±8.069	150.563±7.547#

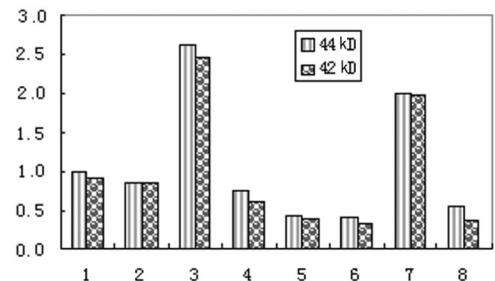
*: P<0.05,与对照组同时间点比较;#: P<0.05,与Ang II组同时间点比较。

2.2 Ang-(1-7)对Ang II诱导的NRK52E P-ERK1/2表达的影响Western blot检测结果见图3, NRK52E同时表达P-ERK1和P-ERK2,相对分子质量分别为44、42 kD。用BIO-RAD软件分析,结果见图4。培养72、96 h后,与对照组比较,Ang II组P-ERK1/2的表达明显增加(P<0.05),Ang-(1-7)单独作用于细胞后,P-ERK1/2的表达稍有降低(P>0.05);与Ang II组比较,Ang-(1-7)+Ang II组P-ERK1/2的表达明显降低(P<0.05)。



1: 72 h 对照组;2: 72 h Ang-(1-7)组;3: 72 h Ang II组;4: 72 h Ang-(1-7)+Ang II组;5: 96 h 对照组;6: 96 h Ang-(1-7)组;7: 96 h Ang II组;8: 96 h Ang-(1-7)+Ang II组。

图3 NRK52E p-ERK1/2的免疫印迹结果



1: 72 h 对照组;2: 72 h Ang-(1-7)组;3: 72 h Ang II组;4: 72 h Ang-(1-7)+Ang II组;5: 96 h 对照组;6: 96 h Ang-(1-7)组;7: 96 h Ang II组;8: 96 h Ang-(1-7)+Ang II组。

图4 Ang-(1-7)对Ang II诱导的NRK52E ERK1/2表达的影响

3 讨 论

肾脏纤维化是各种原因所致的终末期肾病的共同病理表现,包括肾小球硬化和TIF。大量研究表明,TIF的程度与肾功能损害的相关性比肾小球硬化更为密切,动物实验证实,在不伴有TIF的肾脏疾病中,肾功能的恶化较慢,因此TIF越来越多地受到关注和重视^[3]。在TIF的过程中,30%~50%的新增纤维细胞来源于NRK52E间充质细胞转分化^[4]。如何阻止NRK52E发生转分化,减少肌成纤维细胞的生成,已成为抑制TIF的另一突破口。

Ang II 是 RAS 系统的主要活性肽, 它能促进左心室肥厚的形成^[5]。现已证实它在 TIF 中发挥重要作用。给大鼠持续静脉输入 Ang II, 可诱导肾小管萎缩, 肾间质表达 α -SMA, 胞外基质积聚^[6]; 也有研究发现, Ang II 可时间依赖性地增加 HK2 细胞 α -SMA 的表达, 导致转分化发生^[7]。

近来发现 Ang-(1-7) 是一种具有抗纤维化的细胞因子, 其可通过抑制细胞增殖及细胞外基质积聚而发挥其抗纤维化作用。研究证实 Ang-(1-7) 可抑制 Ang II 诱导的心肌肥大和间质纤维化, 从而改善心肌重塑, 并且可同时降低血浆中 TGF- β_1 的水平^[8]。TGF- β_1 能影响 NRK52E 的凋亡与增殖, 导致肾纤维化发生^[9]。越来越多的研究表明, MAPK 家族成员所主导的信号通路是将细胞外生物信号转入核内, 是引起细胞核生物反应的重要途径。其中以 ERK1/2 与细胞增殖反应的关系最为密切。Su 等^[10] 发现 Ang-(1-7) 可抑制 Ang II 诱导的 P38MAPK、ERK1/2、JNK 等的磷酸化, 进而减少肾近端小管细胞增殖及细胞外基质(ECM)的分泌而发挥其抑制肾纤维化的作用。

但 Ang-(1-7) 能否抑制 Ang II 诱导的体外培养的 TEMT 呢? 并且这一作用是通过什么途径实现的呢? TEMT 表现为细胞失去极性, 失去上皮细胞标志物 E-cadherin 及表达肌成纤维细胞的标志物 α -SMA。本研究结果显示, 在 Ang II 中同时加入 Ang-(1-7) 96 h 后, Ang-(1-7) 可抑制 Ang II 诱导的 NRK52E α -SMA 表达增加($P < 0.05$), 减少 Ang II 对 E-cadherin 的表达抑制($P < 0.05$), 提示 Ang-(1-7) 可以抑制 Ang II 诱导的 TEMT; 本实验还发现, 培养 72、96 h 后, Ang II 组 P-ERK1/2 的表达明显高于对照组($P < 0.05$); 在 Ang II 中同时加入 Ang-(1-7) 96 h 后, 与 Ang II 组比较, P-ERK1/2 的表达明显减少($P < 0.05$), 提示 ERK1/2 信号通路在 Ang-(1-7) 抑制转分化过程中有重要作用。

总之, 本研究结果表明, Ang-(1-7) 作为 Ang II 的内源性拮抗因子, 可以从蛋白水平抑制 Ang II 诱导的 TEMT, 并且这一作用是通过 ERK1/2 信号通路来实现的, 提示 Ang-(1-7) 作为 TIF 的负性调节因子, 可能用于肾纤维化的治疗, 从而为临床肾纤维化的防治提供新的思路和治疗靶点。

参考文献:

- [1] Liu Y. Renal fibrosis: new insights into the pathogenesis and therapeutics[J]. Kidney Int, 2006, 69(2): 213-217.
- [2] Zeisberg M, Kalluri R. The role of epithelial-to-mesenchymal transition in renal fibrosis[J]. J Mol Med, 2004, 82(3): 175-181.
- [3] Chevalier RL. Pathogenesis of renal injury in obstructive uropathy[J]. Curr Opin Pediatr, 2006, 18(2): 153-160.
- [4] Zeisberg EM, Potenta SE, Sugimoto H, et al. Fibroblasts in kidney fibrosis emerge via endothelial-to-mesenchymal transition[J]. J Am Soc Nephrol, 2008, 19(12): 2282-2287.
- [5] 张莉娜, 袁艳荣, 孙慧丽, 等. Ang II、TGF- β_1 、MMP-1 及 TIMP-1 与原发性高血压左心室肥厚的相关性研究[J]. 山东医药, 2005, 45(28): 7-8.
- [6] Johnson RJ, Alpers CE, Yoshimura A, et al. Renal injury from angiotensin II-mediated hypertension[J]. Hypertension, 1992, 19(5): 464-474.
- [7] Chen L, Liu BC, Zhang XL, et al. Influence of connective tissue growth factor antisense oligonucleotide on angiotensin II-induced epithelial mesenchymal transition in HK2 cells[J]. Acta Pharmacol Sin, 2006, 27(8): 1029.
- [8] Grobe JL, Mecca AP, Lingis M, et al. Prevention of angiotensin II-induced cardiac remodeling by angiotensin-(1-7)[J]. Am J Physiol Heart Circ Physiol, 2007, 292(2): H736-742.
- [9] 任韫卓, 郝军, 史永红, 等. TGF- β_1 激活 Smad 信号通路影响肾小管上皮细胞的增殖与凋亡[J]. 重庆医学, 2007, 36(20): 2079-2081.
- [10] Su Z, Zimpelmann J, Barns KD. Angiotensin-(1-7) inhibits angiotensin II-stimulated phosphorylation of MAP kinases in proximal tubular cells[J]. Kidney Int, 2006, 69(12): 2212-2218.

(收稿日期: 2010-09-10 修回日期: 2010-11-10)

(上接第 834 页)

- [9] Hovhannisyan RH, Carstens RP. Heterogeneous ribonuclease protein m is a splicing regulatory protein that can enhance or silence splicing of alternatively spliced exons[J]. J Biol Chem, 2007, 282(50): 36265-36274.
- [10] Hung CJ, Lee YJ, Chen DH, et al. Proteomic analysis of methylarginine-containing proteins in HeLa cells by two-dimensional gel electrophoresis and immunoblotting with a methylarginine-specific antibody[J]. Protein J, 2009, 28(3/4): 139-147.
- [11] Ettore S, Guglielmo M, Stefano M, et al. Staging of colon cancer: whole-body MRI vs whole-body PET-CT-initial clinical experience[J]. Abdom Imaging, 2008, 33(6): 676-688.
- [12] 方桦, 王兴元, 王金斤, 等. 300 例结直肠癌肝转移患者临床预后分析[J]. 中华肿瘤杂志, 2009, 31(3): 220-221.
- [13] 赵会民, 张森, 高枫. 癌胚抗原受体在消化系统各器官中的表达及意义[J]. 中华胃肠外科杂志, 2010, 13(8): 608-611.
- [14] Jessup JM, Laguinge L, Lin S, et al. Carcinoembryonic antigen induction of IL-10 and IL-6 inhibits hepatic ischemic/reperfusion injury to colorectal carcinoma cells[J]. Int J Cancer, 2004, 111(3): 332-337.
- [15] 黄泽林, 周铁英, 郭祥发, 等. 脑转移瘤的 CT 诊断[J]. 医用放射技术杂志, 2006, 31(5): 58-59.

(收稿日期: 2010-10-10 修回日期: 2010-11-10)